

斜里漁港模型実験について

北海道大学教授 工学部 工学博士 尾崎晃

1. 斜里海岸の現況に対する一般的な考察

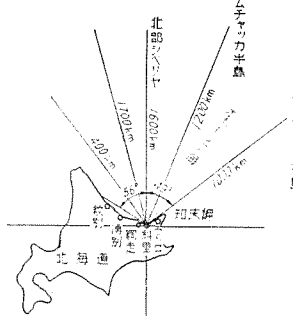
(1) 斜里海岸について

斜里町市街をふくむ斜里海岸一帯の平野は、その大部分が冲積統沖積層よりなる平原であって、西は藻琴より東は海別川に至る約40kmの範囲にわたっている。-5m付近までのボーリングの結果によれば、大体において上層部2~3mの間は粒径0.3~1.2mmの微細な砂の層で、所々に貝ガラをふくんでおり、火山灰の混っている部分も見受けられる。それより下層は小石を混合した粒度の粗い砂よりなっている。この海岸に近い平地の南側に接続する部分は、中斜里付近より斜里岳の山麓に至る一帯と、止別、中斜里を結ぶ線および斜里川によってはさまれる南部の台地一帯は、洪積統の段丘層群よりなっている。また海岸には標高10~20mの砂丘が連続して発達している。

斜里海岸を形づくっている網走湾一帯の海底勾配を見ると、網走より斜里市街を経て知床泊の沖までは、-200mの海底に達する岸からの距離は、平均して約18000m前後であるが、知床半島に入つて、ウトロの前面に至ると-200mの線には岸から約5000mで到達し、海底の平均勾配は約1/25の急傾斜を示し、それから知床岬へかけてはさらに海底勾配が急になっている。

以上のような状況より判断して、おおよそ次のように考えることができよう。すなわち千島火山帯と称されている新第三系の火山群を骨格とする知床半島から阿寒地帯へかけての山々と、同じく新第三系の能取層を主とする、網走から阿寒へかけての山々との間に、これらの火山からの噴出物によって、現在斜里平野の南側一帯に見られる洪積層の台地ができる。これらの上にはさらに新しい火山、すなわち斜里岳、海別岳などの噴出した物質

図-1 斜里の対岸距離



が一部をおおっている。火山灰を主とする洪積層の台地、さらに古期安山岩となる藻琴山など、これら一帯の地表は浸食されて、それより流下する土砂が沈積し、海底地形などの影響によって、現在の北浜付近から海別川までの低地にできた冲積平原がすなわち斜里平野で

図-2 (a) 斜里漁港海底縦断面勾配図

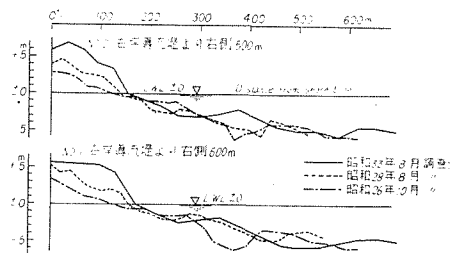


図-2 (b) 斜里漁港海底縦断面勾配図

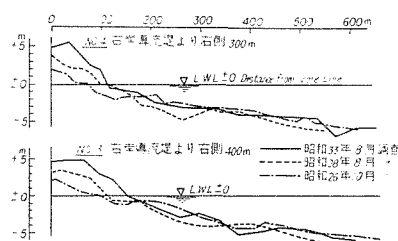


図-2 (c) 斜里漁港海底縦断面勾配図

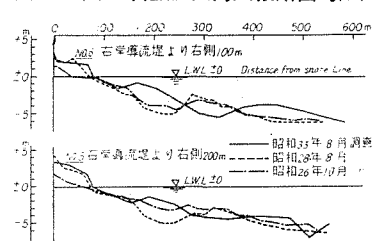


図-2 (d) 斜里漁港海底縦断面勾配図

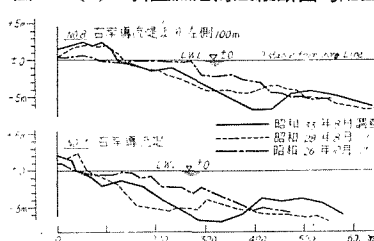
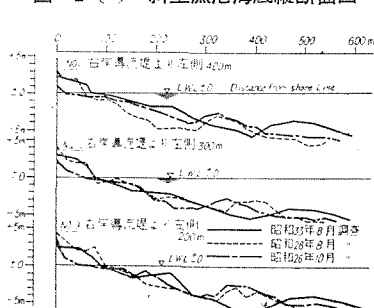


図-2 (e) 斜里漁港海底縦断面図



あると考えられる。従って現在の汀線より沖の海底も、平野を構成しているのと同じ質の微細な砂よりも、前記のように海底勾配も平均 $1/1000$ 前後を示している。海底の砂は、図-2 の海底縦断面図より判断するのに、相当激しく移動しているものと考えられる。しかし全般的に考察すると、これらの砂の移動は網走湾内、特に北浜より海別川口に至る緩弧状の斜里海岸の前面のみにおいて主としてくり返えされているものであって、能取岬より北方の海岸の砂とはあまり関係が無いと思われる。

すなわち網走湾に来襲する波の中で、最も頻度の大きい波向は $N-30^{\circ}-E$ より $N-30^{\circ}-W$ の 60° の範囲内であって、極端に斜から入射するものは比較的少ない。従って沿岸の海底砂は海浜の前面において陸岸方向および沖方向の移動を、来襲する波の性質に応じてたえずくり返しているものと思われる。汀線自体は現状では大きな前進も後退もなく、ほぼ安定しているものようであるが、それは砂丘の生成状態より推定される。またこの海岸の砂が、苦小牧などの場合のようににはるか遠方より沿岸流によって移動して来たものではないと考えられる一つの根拠は、第一に能取岬の地形、第二に網走港および鶴浦漁港一帯にかけての海岸の状態にかかっている。第三に斜里川河口導流堤の左右両側の砂の堆積の消長であるが、これも一定方向から大量の砂の移動があるものとは考えられない。導流堤両側の堆砂は、時には左岸導流堤の左側に発達するが、またある時期にはそれが消滅して右導流堤の外側に成長する。

沿岸流としては瀬潮の影響を受けて、湾内においても西から東へ向かう流れが卓越しているが、観測の結果では 10 cm/sec 程度のことである。なおまた、この斜里平野を流れて網走湾にそそぐ河川は藻琴川、丸山川、オンネナイ川、浦士別川、止別川、斜里川、海別川などであっていざれも泥炭地を緩流し、あるいは一度湖に流入している中小河川であって、日高沿岸の諸河川のように多量の土砂を運んで来るような川ではない。さらに、これらの川の河口の向きを見ると、藻琴沼の海への出口は西向き、濤沸湖の出口は大体真直、止別川の河口は西向き、斜里川は以前は東に曲っていたのを治水工事によって現状のようにほぼ真直にしたもの、および海別川は東向きに曲っている。以上のように西向きも東向きもあって一定していない。

以上の諸点より考えて、沿岸流はさほど強いものではなく、沿岸漂砂の移動方向も明瞭ではない。砂の補給源も特筆されるものが見当らぬとすれば、最初仮定したように斜里海岸の漂砂は大体同じ地点、同じ範囲内で沖方向または岸方向に交互に移動しているのではないかと推定されるのである。

次に斜里海岸の汀線はゆるい凹弧状をなして網走、知布泊間を結んでいるが、斜里市街において、この弧に引

いた接線ののり線はほとんど真北に向いている。各方向に対する対岸距離を 図-1 に示す。

(2) 斜里川について

斜里漁港が現在その河口を利用している斜里川は、海別岳（標高 1419 m ）、斜里岳（標高 1551 m ）に源を發し、途中幾品川、秋川、猿間川を合流して斜里平野を北流し、オホツク海にそいでいる。その流路延長 57.6 km 、流域面積は 472 km^2 である。河口は往時においては 1. に述べたように、海岸の所で大きく東に向きを変え、現在の市街地の東端付近で海に入っていた。土地の古者の言によれば、当時は河口が深くて大型の漁船が入っていたとのことである。当時は河口部が海岸に沿って大きく曲っていたため、その部分だけが一部、出水の際に洗掘されて多少深くなっていたのではないかと推定される。海と連なる河口部はやはり、汀線漂砂によって閉じたり開いたりしていたものであろう。現在は左右両岸に導流堤が設けられたので、河口の位置は安定しているがしかし河口は非常に浅い。

河口に影響を与える諸因子として、まず海については波浪の諸性質、沿岸流、漂砂の量と移動方向、海底勾配などがあり、川の方については河川の流量、河状係数、流送土砂量、底質の種類、粒径などの問題がある。河口の位置、水深などが一定の望ましい状態に保たれるかどうかは、すべて上記の種々の要素がいかに組合わされるかにかかっている。従って模型実験に先立って、現況においてそれらの要素がいかなる関係にあるかを調べることが必要である。しかしあれわれの入手できた資料は、巻末に記載してある資料の No. 5, No. 6 (川に関する分)だけであり、かつ水位観測月表も、単に午前と午後に 1 回ずつ観測した水位のみであって、水位と流量の相関は得られなかった。

流量については流域面積から一応算出されるが、これは係数の取り方次第で相当大巾に変化するので、将来の河川計画の資料としては用い得ても、今のわれわれの目的には不適当である。やむを得ず、現在ある資料の範囲内で可能な、次のような方法を用いた。

斜里川の水位観測所は、斜里川河口の斜里橋と斜里川上 6 号（途中より川上 7 号に移転）および猿間川 6 号の三地点にあって、いざれも昭和 27 年から 33 年までの 7 年間の水位のみの記録があったので、それらにより、各観測地点ごとの 6 年間（斜里川上 6 号および 7 号については各 3 年間）の水位の頻度分布曲線を作った（図-3, 図-4）。各水位がこの測水断面のどのような地位にあるかは、現在資料が入手できないので不明であるが、いざれにおいても、量水標にて読み取られる範囲のはば中央より少し低い所に最多水位があり、その分布曲線は近似的に誤差法則を満足する。従って現在不明ではあるが流量の方もこれと同様な関係にあり、斜里川に出現しうる流

図-3 水位の頻度分布

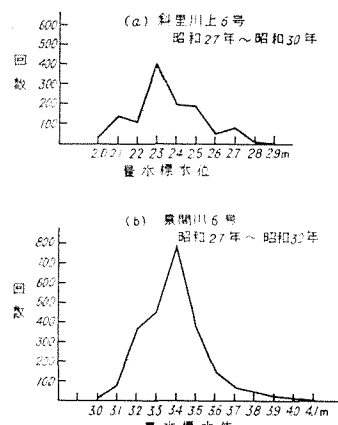
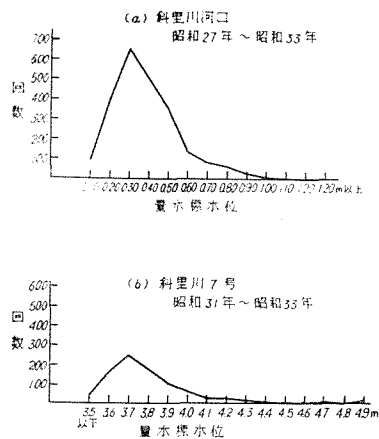


図-4 水位の頻度分布



(a) の最多水位(0.3m)であるので、これと関係をつけて見ると、斜里川の最も頻度の高い流量は約 $13\text{ m}^3/\text{sec}$ 前後であるといえよう。

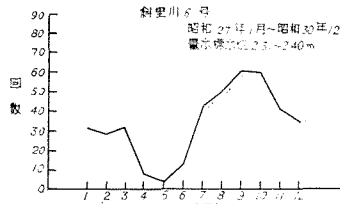
次にこの最多水位が一年間のどの時期に最も多いかを見ると、斜里川上6号、7号、および猿間川6号地点についてはいずれも5月が最低で7, 8, 9, 10月頃が最高となっている。これより見ても夏から冬にかけての4ヵ月間は大体流量が一定していて、もし上に述べた推定が正しいとするならば、その流量は約 $13\text{ m}^3/\text{sec}$ 程度である。次に最多水位の数の最も少ない4月、5月について調べる。すなわち今度は斜里川河口量水標では1.2m以上、川上6号では2.8m以上、同7号量水標では4.5m以上、猿間川6号では3.9m以上という、各地点の最高水位の生ずる月を調べると、いずれも4月、5月が最も頻度が高く、次いで3月および8月、9月の順になっている。これより見ても4月、5月の融雪時には最大流量が出現し、次いで8、9月頃の台風時期に最大流量が起こるが、しかしこの秋に最大流量の起こる回数は4月、5月の融雪期に比較すれば問題にならない。ただし流量は報告書によれば高水流は約 $300\text{ m}^3/\text{sec}$ であると記されているが、

量の範囲内で最高に属するものはきわめてまれにしか起らぬし、また同様に最低に属するものもまれであって、中等程度の流量が最もしばしば起こりうることが推定できる。

なお、昭和33年8月に一回だけ、斜里橋地点においてプライス電気流速計を用いて流量を実測した記録があった。この時の水位は明記されていないが、同年8月の斜里河口水位は、図-4

図-5 年間における最多水位の月別分布(図-3による)

斜里川6号
昭和27年1月～昭和30年12月
量水標水位 2.5～24.0m



猿間川6号
昭和27年1月～昭和30年12月
量水標水位 3.3～34.0m

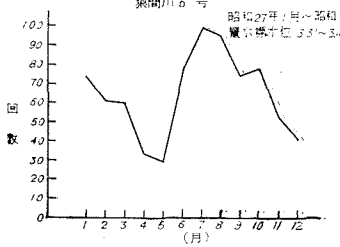
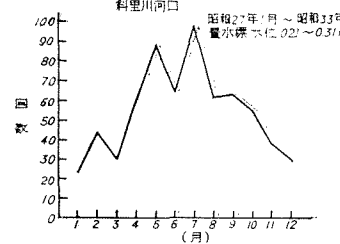
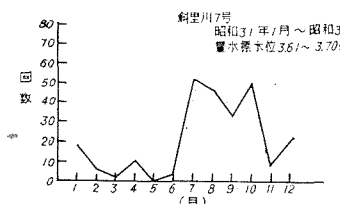


図-6 年間における最多水位の月別分布(図-4による)

斜里川河口
昭和27年1月～昭和33年12月
量水標水位 0.21～0.31m



斜里川7号
昭和31年1月～昭和33年12月
量水標水位 3.65～3.70m



ったことはないとのことである。ともかく現状では、河川からの流下物が大して問題になるほどの量ではないであろうと考えられ、それは図-7に示す斜里川河口横断面図によつても明らかである。すなわち昭和26年から昭和33年までの7年間の変化を見るのに、一番上流の斜里橋付近では河床の変化は認められない。ただ河筋が全体として多少右岸側に移動している。それより以下河口に至るまでの各断面はいずれもかえって河床が洗掘されて深くなっている。これは一つには左岸導流堤にそって岸にすべり上る波によって運ばれた砂が、陸上部の導流堤が沈下したため、それを越して河川の左岸側に進出し、次第に左側より河巾をせばめたために、右岸側は導流堤によって固定されているので、川底が深くなつたものと思われる。

ともかく河口付近に堆積を起こすような上流からの流水土砂は考えられず、あってもきわめて少ないといえよ。

図-7 (a) 斜里河口横断面図

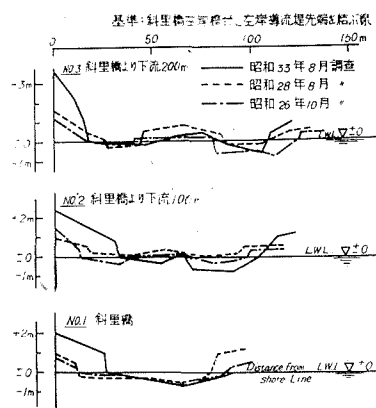
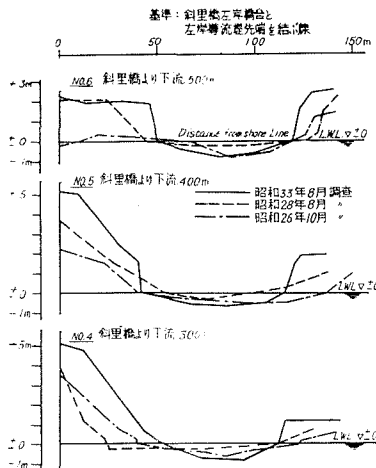


図-7 (b) 斜里河口横断面図

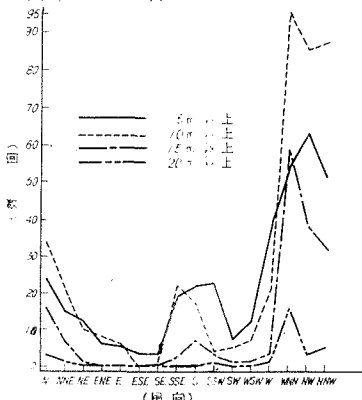


利な条件となるのである。

(3) 風について

斜里における風の動向に関しては、現在のところ斜里においては十分な風の観測結果がないので、網走、ウトロ、湧別、紋別の4地点の風向、風速の記録と、それに若干の斜里における記録を併用して、次のように整理した。

網走測候所の昭和23年1月から昭和32年12月まで

図-8 網走港風向頻度分布
(昭和23年1月～昭和32年12月)

う。さらに前記の洪水時期と、海風が強くなる時期とが交互にずれている点にも問題がある。すなわち4月、5月頃の風は次節に述べるように主としてS～SE方向の陸風であって斜里前面の海は概して静穏であるが、これに対して河川の流量が少なくなる8、9、10、11月頃には風はN～NW方向のものが非常に多くなり、波浪も従って大となるため、河口維持にとっては不

方向のものが多いため。図-9はウトロ漁港修築事業所における1年間の観測結果を、また図-10および図-11も湧別漁港および紋別港における観測結果を同じ方法で表わしたものである。これらのいずれを見ても、全部と共に通して、網走の結果について述べたようにW～N方向の頻度が最大で、次にはS～E方向がこれに続くが、回数は大体N方向の半分以下である。そしてこれら

の風を季節別に見ると、S～E方向、すなわち主として陸風は春から夏にかけて多く、N～W方向の海風は秋から冬にかけて多い。

次にこれら各地における風向の相関関係を調べて見ると、5m/sec以下の風については2地点で一致することもある、しないこともあります。また各地でばらばらな風向の場合もある。主として局地風が多いといえる。10m/sec以下でもやはり同じ傾向であるが、前者にくらべれば各地の風向が一致する割合がやや多くなる。これに反して10m/sec以上の風速の風の場合にはほとんどの場合、各地の風向が一致し、まれに一致しないことがあるが、その方向の差異が小さい。これらの事実より考えるに、オホーツク海の沖に大きな風浪を発生させるような風は、大体において上記各地の風向が一致する程度の風であろう。従って10m/sec以上の風速の風のみを対象として取上げた。このようにして斜里漁港における風速10m/sec以上の風の吹送時間を風向別に合計したものが図-12である。これによれば、最も多いのがNW

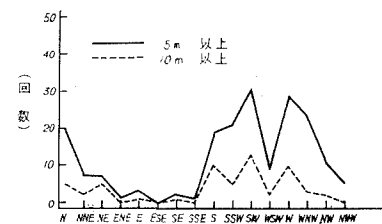
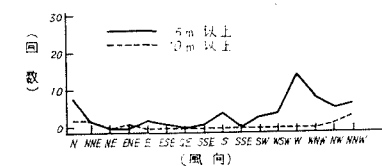
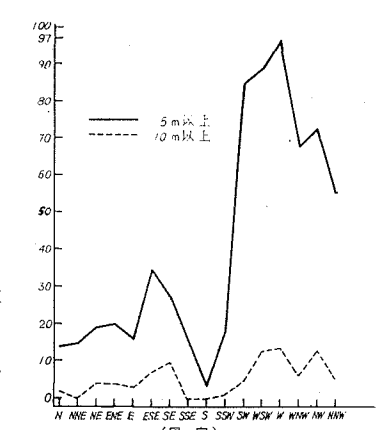
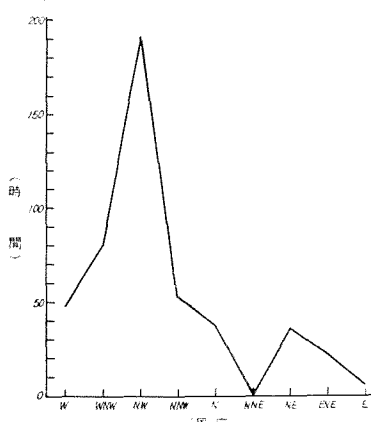
図-9 宇登呂漁港強風風向頻度分布
(昭和31年1月～12月)図-10 湧別漁港風向頻度分布
(昭和33年9, 10, 11月)図-11 紋別港風向頻度分布
(昭和31年1月～昭和32年12月)

図-12 斜里における風速 10 m/sec 以上の風の風向別吹送時間の合計
(昭和 32 年 1 月～昭和 33 年 10 月)

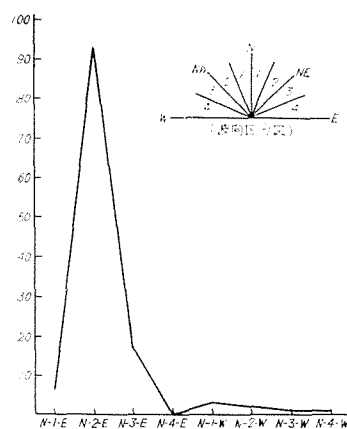


なるが、風向の順位は変わらない。NW は斜里に対し対岸距離約 400 km の方向にあたる。

(4) 波浪

模型実験を行なうに当っては、実際に現地に来襲する波にもとづいて、模型波の諸要素を決めなくてはならない。しかしこの海岸の諸港においては波浪観測はほとんど実施されておらず、資料 No. 17 および No. 18 の網走

図-13 網走港における波向の分布
(昭和 33 年 10 月 1 日～昭和 33 年 12 月 13 日)



NE～NEE のもので 17 個 (13.8%)、次が N～NNE の波向の波で 6 個 (4.9%) となる。もちろんこれは昭和 33 年の 10 月 1 日から 12 月 13 日に至る 74 日間のものであって、これだけの結果から全体を推論することはできないが、大体の見当はつけることができよう。N から NW, W 方向へかけての波向が非常に少ないが、これは実際にその方向からの波が少ないので、それとも網走港の位置は NW 方向に対しては能取岬のかげになっているので、その影響によるものかは現在の資料だけから

方向の 192 時間 (自昭和 32.1～至昭和 33.10) で、次が WNW 方向の 80 時間 40 分、W と NNW とがそれぞれ 47 時間 40 分および 52 時間 50 分となってい。10m 以下をもふくめば吹送時間の計はさらに大と

は決められない。NW 方向からの波が岬の影響を受けて、回折、屈折して方向が変わって来ることは十分に考えられることである。しかし NE 方向に対してはそのような懸念はない。この方向の波は斜里港に対してもそのまま適用しうるものと考えてよい。資料 No. 18 の紋別港の観測記録には波向が記入していないので、波向の推定はできなかった。結局、斜里漁港における波向は、風向を基礎として考えることとし、それに網走の観測結果にもとづく推定を加えて次のように決めた。図-12 より、10 m/sec 以上の風の吹送時間は NW 方向が一番大で、これは対岸距離 400 km の方向である。NNE から N 方向になると対岸距離が 1700～1600 km になる。NE 方向では、時間も比較的大でかつ対岸距離も 1000 km に達する。これらの事実より NW～NNW 方向が第一位、NE～NNE 方向を第二位とした。次に同じく斜里の自記記録中より同一方向の風が連続して吹送した時間の最も長いものを取り出すと 10m/sec 以上では NE 方向の 15 時間、NW 方向の 11 時間。15m/sec 以上では NW 方向の 11 時間 40 分がある。これを用いて S-M-B 法により沖波波高および周期を図表より求めると、NE 波に対しては波高 $H_0=2.5\sim3.0$ m、周期 $T_0=7.5\sim8.0$ 秒、NW 波に対しては $H_0=4.0$ m、 $T_0=8.5\sim9.0$ 秒が得られる。網走の観測記録中では波高 (1/3 最大波) は 2.86 m、周期 (1/3 最大波) 12.3 秒が最大であったが、周期は平均して 9 秒程度が最も多い。また期間中に観測された最大波高は $H_0=3.84$ m、最大周期は $T_0=15$ 秒。これに次ぐものは $T_0=13$ 秒であった。また紋別の記録では観測期間中の 1/3 最大波の波高は 2.88 m、周期は 12 秒が最大であり、最大波高では 3.9 m というのが観測されている、周期も、最も頻度が大なのは 6 秒前後である。

以上述べたところより、斜里における推定波高、および周期、または波向はそれぞれ妥当であると考えてよい。しかしながら今後十分なる実測を必要とするとはいうまでもない。

なお、図-2 の斜里漁港縦断面勾配図を観察すると、水深 -6 m より浅い部分においては砂堆の移動が激しいことが見受けられるが、測量範囲である距岸 600 m、水深 -6 m 付近に第一の碎波帯があるものとすれば (砂堆の位置より判断して)、この付近で碎波する沖波の波高は、 $h_b/H_0=1.5$ (ただし h_b は碎波水深、 H_0 は沖波波高) の関係を用いれば、 $H_0=3.5\sim4.0$ m の波でなくてはならない。これも大体前記の波高と一致している。

2. 模型実験

(1) 概説

模型実験によって比較検討すべき斜里漁港の修築計画案は図-14 の現河口を利用して内港部を掘込む第一案と図-15 のように現河口の右岸側に防波堤により新し

図-14 斜里漁港修築計画平面図
第1案

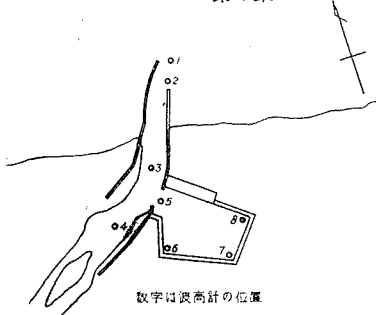
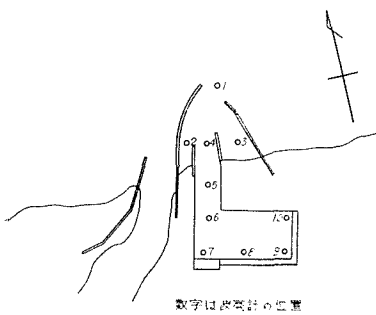


図-15 斜里漁港修築計画平面図
第2案



波についてはフルードの相似律を適用しても、底質の移動に関する相似は成立ないので、これに対しては試算的手法を用いて、定性的な結果で満足しなければならない。底質の移動をともなう現象を解明する場合には、模型水深は従来通常の設備では小さいのが普通であって、底質として実際の海砂を用いる場合には、模型における波や流れでは、これらを動かすことができない。従って比重の軽い、砂に代るべき物質を用いたり、さらに縦縮尺を増大して、波や、水流の力を実物におけるよりも大きな割合で働くように模型を調整する。このようにすれば底質は、移動しやすくなるが、縦縮尺と横縮尺との割合が異なるために、波高波長をフルード相似律で縮少すれば、実際の波形勾配とは異なった波を模型に使用しなければならぬこととなり、海浜の浸食や堆積が波形勾配に支配されるところが大きいため、問題は複雑となりこの解決に対して一般的な方法ではなく、その都度、現地の状況に応じ、1.に述べた諸条件を考慮して全般的に考えるほかはない。

(2) 模 型

実験に使用した模型は、9×6 m の平面水槽内に、平面縮尺 1/120、縦縮尺 1/40 および 1/120 で作製した。模型実験は次に述べるような順序によって行なった。

(i) 現状のままの海岸について(A)

(ii) 河口の導流堤のみを、修築計画案の第1案のと

おり完成し、内港の掘込みを行なわない場合。従って河口内の水深は現状のままの場合(B)

く外港部を設け、さらに内港部を陸に掘込む第2案との二つであった。

実験は砂の移動を見るのが主たる目的であり、従って水深の縮尺を実物の割合よりも大に取り、底質の移動が起こりやすいようにした。しかしこの場合には波の波形勾配は実物とは一致しない。またこの場合には

(iii) 修築計画案の第1案（すなわち現在の河口を利用し、それに内港を接続させた場合(図-14)(C))。

(iv) 修築計画案の第2案（現在の河口を利用しないで新しく外港、内港を設ける場合(図-15)(D))。

以上のうち、(A), (B), (C)の3種の実験の場合の模型はいずれもモルタルによる固定床とし、模型の縮尺は平面 1/120、垂直 1/40 であった。

最後の(D)の場合のみは、模型を可動床とし、底質としては苦小牧産の海砂（平均粒径 0.3 mm、比重 2.8）を用いた。この場合には、縦横縮尺の相違の影響を見る目的で、始めには縦、横ともに 1/120 の縮尺、後に縦 1/60、横 1/120 で、水深を 2 倍にした模型によって実験し、両者を比較した。

模型における各種の測定には、写真と抵抗型の波高計（自記）を用いた。

3. 実験結果とそれに対する考察

(1) 実験結果

河口導流堤および河口水深が現況のとおりの場合には総体的にいえば、波向が NNE 方向から N を経て NNE 方向に向かうにつれて河口内に侵入する砂の量は多くなり、かつ奥深くまで入るようになる。また波の性質より見ればこの模型においては波形勾配 δ_0 が 0.025 以下とそれ以上の間に大別して、 $\delta_0 < 0.025$ の場合には河口内に侵入する砂の量が増大し、 $\delta_0 = 0.03$ 前後ではやや少なく、導流堤の先端付近に溜り、 $\delta_0 > 0.03$ 、ことに $\delta_0 = 0.05$ 程度になると、汀線が浸食され、河口内へはほとんど砂は入らない。また河川流量のある場合と無い場合に分けると、河底の砂が掃流され始める程度の流量（模型では約 0.92 l/sec であった）が、ある場合には波形勾配の小さな波でも、砂は河口内へはほとんど入らない。またたとえごくわずかでも河川流量があればそれは 0.5 l/sec 程度以下であっても河口内への砂の浸入はかなり制限されて、多少浸入しても導流堤開口部付近にとどまり、あまり奥までは入らない。

NNE 方向の波向に対して侵入砂量が多い理由は現在の導流堤では、左岸側が右岸側に対して少し短かいことから考えても当然であろう。また NNE 方向の波に対しては右岸導流堤先端付近の内側に砂堆ができる、ミオ筋は左岸導流堤沿いに寄るが、これも斜里河口の現状とよく一致している。またここの場合には左岸導流堤の基部付近外側に堆積を生ずることも現地の状況と大体一致する。これらの堆積は、波高の高い、波形勾配の大きい波が N 方向から来襲する場合には消滅する。これらの点について、十分な現地の観測資料は得られなかったが、大体現況と一致しているもののように思われる。

以上のようにして、現在の導流堤配置および河川流量に対し、現地の海岸変化と大体相似な形を模型の上に生

するような、波高、波形勾配、および波向を求めるために行なったのが A の実験 18 種であった。この結果を利用して次の B 以下の実験を進めた。

B の実験 18 種においては、波向は NNE, N, NNE の 3 方向、模型波高は 5 cm、および 4 cm とし、周期 T_0 を 0.8~1.6 秒の間に変えることによって、 $\delta_0 < 0.025$, $\delta_0 = 0.03$, $\delta_0 = 0.04 \sim 0.05$ の 3 種の波を用いた。この場合の導流堤配置は、図-14 のように、計画案第 1 のとおりとし、その先端水深は -5 m である。この配置においては、まず第 1 に導流堤開口部の水深が大になったこと、第 2 に左岸側導流堤が、右岸側よりも、延長が大となり、かつそのり線方向が適切となったこと、第 3 に、現在よりも、先端付近にて巾が狭められたことの 3 つの理由により、どの種の波に対しても現在より砂の浸入は少なくなっている。ことに N~NNW 方向の波に対しては、導流堤よりの越波がなければ、砂の浸入はほとんど見受けられない。特に河川流量のある場合には一そう良好である。また NNE 方向波に対する場合は、多少砂の浸入が見受けられるが、河川流量のある場合には排出しうる。

次に左右両岸導流堤の外側の部分については、NNE 波の場合には $\delta_0 < 0.025$ の波によって右岸堤の外側に、NNW 方向の波の場合には同じく左岸堤の左側に堆積を起こす。波の高さ、波形勾配、波向が変化するに従って、これらの堆積量も場所もともに変化する。

B の実験において特に注意を要することは碎波線の位置であって、この模型は水深の縮尺を大にしているため、波高を現地の波と相似に取っても、碎波する位置が異なってくることである。A の場合は導流堤の延長が短かかったから、いずれの波も導流堤開口部より沖側で碎波したが、B の実験では、導流堤開口部から岸側の浅い所で碎波している。従って、上記のように河口内への砂の浸入が少ないのであるが、現地においては、碎波水深は -5~6 m と考えられ、従って、第 1 案による導流堤の先端は当然碎波帶内にあることになる。もっともこの程度の水深の所で碎波する波は沖波波高 $H_0 = 3.5$ m 程度以上のものであるから、その頻度はあまり大ではないと考えられ、従って砂の浸入がはなはだしいとは思われない。

C の実験については、この場合は導流堤配置は B と同じであるが、河口を、導流堤先端から、斜里橋まで -3 m にしゅんせつするので水深が大となり、従って河川の掃流力が同一の流量に対しては B の場合よりも弱くなる。しかし一方においては、導流堤先端の港口部より浸入する波の性質も、B の場合とは異なって、B においては河口部を廻上する波は碎波によるはい上り波のような形で、底質を強く動かしたが、C ではそれが比較的小さくなっている。C の場合には河川流量の有る時と無い時の

区別が B におけるほど明瞭に表われなかったことが特徴といえる。

しかしこの C の場合に

は、波の浸入が大きく、河口の奥の方の波高は B よりも高くなつた。またこれにともなつてごく軽い浮遊漂砂(実験では鋸屑)が奥の方まで侵入した。掘込みによる内港部へ

は実験ではほとんど砂は入らなかつたが、實際には潮汐の影響と波によって浮遊漂砂が侵入し沈積するであろう。しかし内港内に溜る前に

河口部が浅くなり、内港が埋まることはまず考えられない。内港部に関する波高減衰の模様は図-16 のとおりであるが、減衰の % は縮尺模型においては實際と相似ではない。傾向として利用できるに過ぎない。

なお C の場合に一番問題になるのは斜里川の流量および流送土砂量であって、これについての資料が本案の成否を決定する鍵であるが、現在のところでは流送土砂は少ないと見とおしの上で実験を行なつたのであって、その場合には上に述べて来たように比較的良好な結果を期待してよいと考える。

D の場合は先にも述べたように、模型を可動床に改造して実験した。第一次の模型は縦横両縮尺とも 1/120 とし、波は A 実験の場合と同様のものを用いた。この場合の防波堤先端、すなわち港口部は水深 -3 m から -4 m の間にある。計画案原案のままによる防波堤配置の場合と、東側防波堤をさらに 20 m 延長して港口巾を少し縮小した場合との二案について実験した。第一次模型では、

図-16 (a) 斜里 C 案の場合の波高減衰率

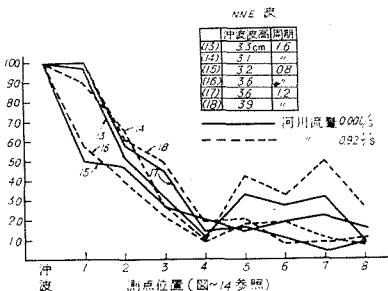


図-16 (b) 斜里 C 案の場合の波高減衰率

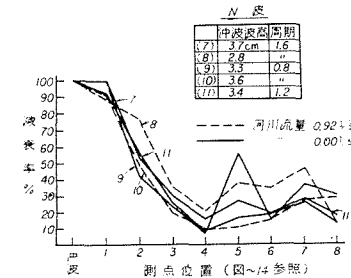
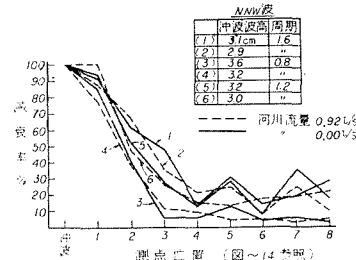


図-16 (c) 斜里 C 案の場合の波高減衰率



水深が小さいため、底質(砂)自身は碎波線以外の場所ではほとんど動かなかったので、鋸脛を用いて底質の移動を調べた。D の場合は外港の港口は水深が平均して -3 ~ -4 m 付近であるため、当然碎波帶内であり、かつC の場合に比較して港口巾が広く、また港内も急に面積が広くなっているために漂砂の浸入が多い。波向が NNW 方向になると、港口の前方をそのまま東へ流れて港内へ入る量は減少するが、N~NE 波に対しては、掃流漂砂、浮遊漂砂ともに侵入する。東防波堤を 30m 延長した場合には傾向としては多少減少する。C の場合には、川の流量が多少でもある場合には浮遊漂砂の港内侵入はかなり阻止されたが、D ではこのような対抗力が全くないた

図-17 (a) 斜里D案の場合の波高減衰率

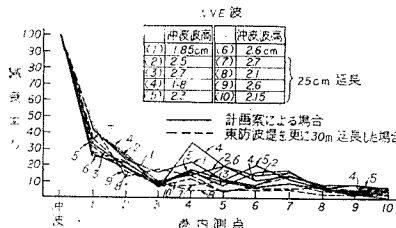
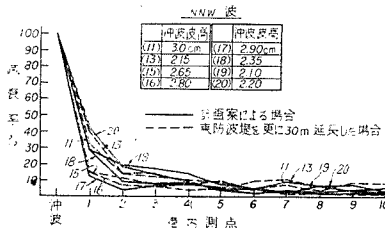


図-17 (b) 斜里D案の場合の波高減衰率



はない。ただ図の (a) と (b) を比較して見ると N 方向波に対するよりも、NNW 方向波に対する減衰率の方が平均してよくなっている。西側防波堤の遮蔽効果の重要性がわかる。また東側防波堤を 30m 延長した場合についても同様のことといえる。

次にD案のように実施された場合、現在の斜里川河口がどうなるかを見よう。NNW~N 方向波を長時間送ると、外港部の西防波堤に沿う流れがちょうど河口の位置に向かい、その流れによって運ばれた浮遊漂砂は河口付近で、川より流出する流れのため流速を失ない、砂を沈殿する。河川の流れが弱い場合にはここにできた砂堆がさらに波によって河口内に押しやられ河口を閉塞する傾

向を示す。

(2) 実験結果に対する考察

以上に述べてきたことを総括し、第1案および第2案のおのおのにつき、それぞれの特徴をあげれば、まず第1案では、

① 現河口を利用してるので、導流堤も現在あるものを補修、利用できる関係上、これを延長しながら、河口内部を直ちに泊地に利用できる。この場合静穏度も良好である。

② 導流堤先端すなわち港口の水深が -5m 程度まで出ているので、波高の小さい波の場合には海底砂のかくらんが少なく有利である。

③ 河口を利用しているので多少でも川の力により漂砂侵入に対抗できる。なお導流堤の間隔も、川の力を利用する上には好都合にできている。

④ 内港部は港口より遠く、港内の静穏が期待できる。

⑤ 導流堤の間隔が狭く、航路が長いので、出入港の船は西風の場合には真横より風を受けて航行することとなり操船が困難となる。

⑥ 港口の向きは漂砂に対しては好都合であるが、船の出入の点より見ると不便である。

⑦ もし河川よりの流出土砂が多くなければ（上流の治水工事その他によって、条件が変れば）致命的である。

次に第2案（図-15）の場合について

① 河口とは別個に外港部を設けるので、外港部に広い面積を取ることができ、内港が完成しなくとも、港として広く利用できる。

② 河川よりの流出土砂がある場合でも、港自身はただに埋没する心配はない。

③ 港口の巾および方向は船の出入に便利である。

④ 港口の巾および向きの関係より N~NE 波の場合には漂砂が入りやすい。

⑤ 西防波堤の影響によって現在の河口が埋没する可能性がある。

以上のようなになるが、第1案では項目 1~4、第2案では同じく 1~3 は利点と見なされ、またそれぞれ 5~7、および、4、5 は欠点と考えられる。

以上はいずれも模型より得られた直接の結果にもとづくものであるが、これを現地にあてはめて考える場合には、模型には取り入れられなかった各種の外的条件について考察する必要がある。